長尺鏡ボルト工による地山補強効果の簡易評価モデル

前田建設工業(株)正会員 宮野前俊一,森田篤,酒井照夫,松井幹雄,梨本裕東京大学 正会員 大久保誠介

1.はじめに

小土被りの未固結地山におけるトンネル施工では,切羽前方地山の安定を確保することが重要視されるようになってきている.近年では GFRP管を1シフトあたり長さ 20m 程度として切羽前方に打設する,長尺鏡ボルト工が切羽安定対策工として広く採用されている¹⁾.

これまで長尺鏡ボルト工による地山補強効果は経験的には認められているものの,設計段階でどの程度の効果があるかを予測することは困難なものとなっている.また3次元掘削解析による定量的な効果の把握が行われるようになってきている²⁾が,モデル化や解析に時間を要する.

これらを解決する一つの方法として,本報告では軸対称 FEM を用いて 長尺鏡ボルトエの効果を簡易に評価するモデルを提案する.

2. 長尺鏡ボルト工の作用効果

清水・武田 ³⁾と同様に一軸圧縮試験の解析を行い,長尺鏡ボルト工の作用効果について検討する.地山は Mohr-Coulomb の破壊規準に従う弾完全塑性体とし,表-1 に示す低強度の粘性土地山の物性を用いる.ボルトは外径 76mm,内径 60mm の GFRP 管(ヤング率 20GPa)を想定し,打設密度は表-2 のとおりとする.図-1 に示すモデル上端に強制変位を与え圧縮を行った結果(地山の軸応力-軸ひずみ関係)を図-2 に示す.

図より長尺鏡ボルト工の作用効果は地山の変形を抑制することによる 耐荷力向上 ⁴⁾であると考えられる.効果の程度はボルトの剛性や打設密 度およびボルトと地山の付着特性に依存すると考えられるが,適切な施 工がなされれば,少なくとも地山が弾性的な挙動を示すものとして近似 的に取り扱うことができると考えられる。

3 . 長尺鏡ボルト工による作用効果の簡易評価モデル

長尺鏡ボルト工を採用するようなトンネルにおいてはショートベンチカット工法や補助ベンチ付全断面工法が採用されることが多く、インバートによる断面閉合が早期に行われる。またインバートの曲率を小さくし、円形に近い断面が採用されることが多い。このような場合には軸対称モデル(図-3)でトンネルの掘削過程を表現できるものと考え、トンネルの掘削幅 D を 10.0m、一掘進長を 1.0m として切羽位置 z が-50m(z=-5D)から 50m(z=5D)まで逐次掘削解析を行う。表-1 に示す地山物性を用い、図-4 の解析ケースを設定する。ケースが提案する簡易評価モデルであり、長尺鏡ボルト工による切羽前方地山の補強区間のみを弾性体としたものである。ここでは補強区間長 L を 0.25D、0.5D、1.0D の 3 通りに設定する。初期応力は静水圧的に 0.55MPa が作用しているものとする。

表-1 地山物性

| 10 |
|------|
| 0.4 |
| 10 |
| 0.08 |
| 0.02 |
| 22 |
| |

表-2 長尺鏡ボルトの打設密度

| 打設密度(本/m²) |
|------------|
| 0.0 |
| 0.1 |
| 0.3 |
| 0.5 |
| 0.9 |
| |

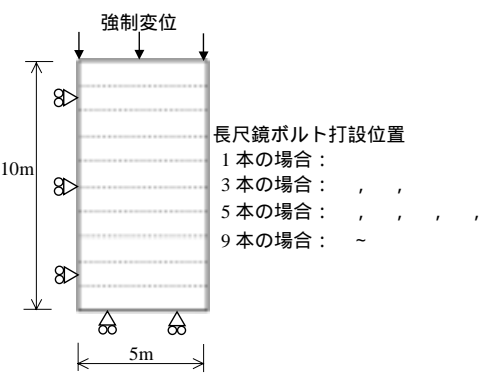


図-1 圧縮試験解析モデル

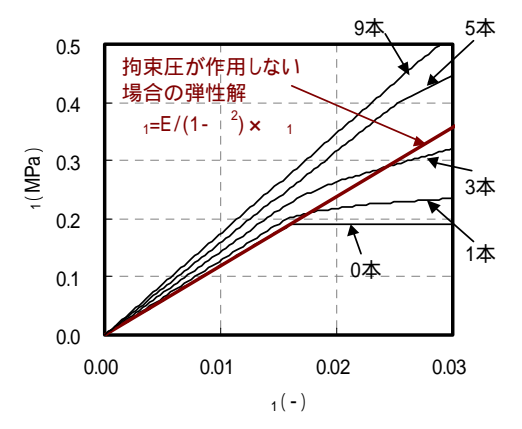
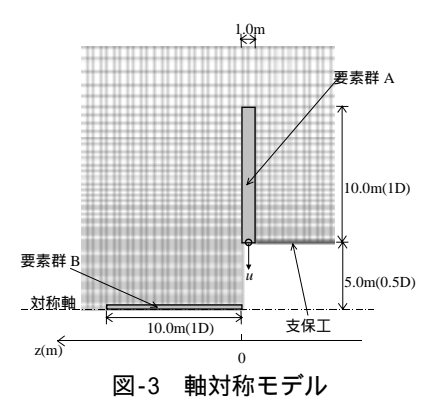


図-2 地山の軸応力-軸ひずみ関係

キーワード 長尺鏡ボルトエ,軸対称 FEM

連絡先 〒179-8903 東京都練馬区高松 5-8J.CITY 前田建設工業(株)土木技術部 TEL03-5372-4759





弾塑性体 補強区間 L は弾性 (提案モデル) 体,他は弾塑性体 図-4 解析ケース

:解析ケース L:補強区間長 0.6 L=0.5D . 1.0D :L=0.25[0.4 0.2 0.0 100 200 300 u(mm)

図-5 $_{r}$ と $_{u}$ の関係

解析ケース L:補強区間長 8.0 L=0.5D,1.0D 0.6 0.4 (MPa 0.2 : L=0.25D 0.0 10 壁面からの距離(m)

図-6 要素群 A の応力状態 (切羽位置 z=50m)

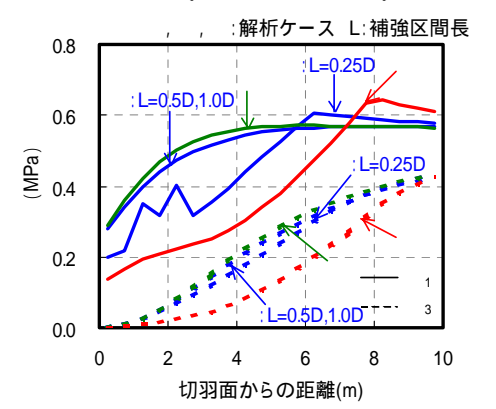


図-7 要素群 B の応力状態 (切羽位置 z=0m)

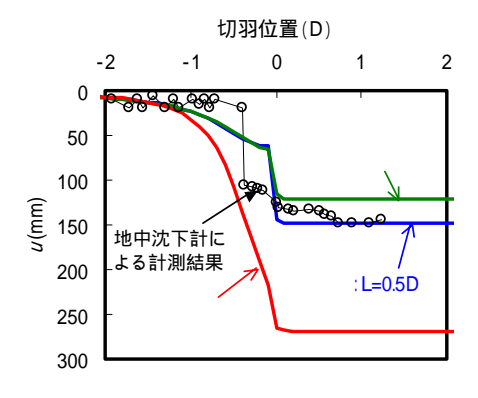


図-8 計測天端沈下量との比較

支保工は厚さ 0.25m の吹付けコンクリート (ヤング率 3.4GPa,ポアソン 比 0.2) および鋼製支保工(ヤング率 210GPa, H-200) を想定し、掘削毎 に手前 1.0m 部分にシェル要素でモデル化する.

,を要素群 A (図-3)の最も内空側に位置する要素のトンネル半径方 向応力(圧縮:正), uを図-3に示す節点の内空方向への変位(内空側: 正)として得られる、と uの関係を図-5 に示す.ここに は切羽位置 z が Om の時点(切羽到達時), は切羽位置 z が 50m の時点(5D 通過時) での値である. 切羽位置 z が 50m の時点での要素群 A (図-3) における 最大主応力 4 および最小主応力 3 を図-6 に示す .また切羽位置 z が 0m の時点での要素群 B (図-3)における最大主応力 および最小主応力

₃を図-7 に示す.これらの図から,ケース では切羽前方地山の補強 区間のみを弾性体としているにも関わらず、得られる結果は地山全体を 弾性体としたケース に近いことが分かる. すなわち切羽前方地山の安 定性がトンネルの安定性に深く関わっており、長尺鏡ボルト工により先 行変位や押出し変位が抑制され、トンネルの安定性が向上すると考えら れる、しかしながらケースの結果から長尺鏡ボルトの打設長やラップ 長が十分でない場合には効果が期待できないことが分かる.

長尺鏡ボルト工を採用したトンネル 5)における計測天端沈下量(地中 沈下計による)とケース (補強区間長 L=0.5D)の結果を比較したもの が図-8である.計測トンネルの各種条件はケース と同様であり,長尺 鏡ボルトの打設長は 21m (約 2.0D), ラップ長は 6m (約 0.5D) である. 図からケースの結果は実用的な範囲で天端沈下量の計測結果を表現で きており、簡易評価モデルとして使用に耐えうることが分かる、

4.おわりに

本報告では長尺鏡ボルト工による補強効果を軸対称 FEM において切羽 前方地山の補強区間のみを弾性体とすることにより表現する簡易評価モ デルを提案するとともに,現場計測結果と比較しその実用性を明らかに した、軸対称 FEM を用いていることから適用範囲は限定されるものの長 **尺鏡ボルト工によりどの程度の効果が得られるかを簡易に評価できる.**

参考文献: 1) ジェオフロンテ研究会: ケーブルボルトに関する調査報告書 長尺鏡ボルトの施工実態調査結果とその分析 2) 例えば宮野前他:トンネル工学報告集,第14巻,2004. 3) 清水・武田:トンネル工学研究論文・報告集,第7巻,1997. 4) 土屋: ロックボルト・吹付けコンクリート工法の設計に関する研究, 1986. 5) 佐藤他: トンネルと地下, 第34巻, 8号, 2003.